

Conox® 2D

Monitoramento Inteligente da Anestesia



Reg. Anvisa: 8014519019

Conox® é um monitor não invasivo de profundidade anestésica, que tem como objetivo avaliar a hipnose e os efeitos analgésicos da sedação e da anestesia.

Benefícios clínicos:

- Incidência reduzida de consciência intraoperatória;
- Exposição anestésica reduzida;
- Atenuação de potenciais efeitos adversos pós-operatórios, causados por superdosagem medicamentosa;
- Redução do tempo necessário para a recuperação pós-anestésica e a extubação traqueal;
- Risco reduzido de delírio pós-operatório e disfunção cognitiva pós-operatória;
- Consumo otimizado dos fármacos;

Duas soluções de monitoramento em um único dispositivo:

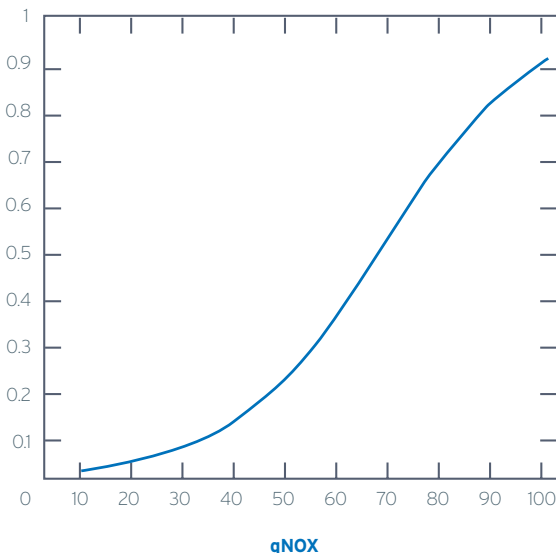
qNOX

61-99	Paciente com probabilidade de responder a estímulos nocivos.
40-60	Paciente com pouca probabilidade de responder a estímulos nocivos.
0-39	Paciente com probabilidade muito baixa de responder a estímulos nocivos.

qCON

80-99	Acordado.
61-79	Sedação ou anestesia leve.
40-60	Anestesia adequada.
0-39	Anestesia profunda.

Probabilidade de resposta à intubação traqueal.¹



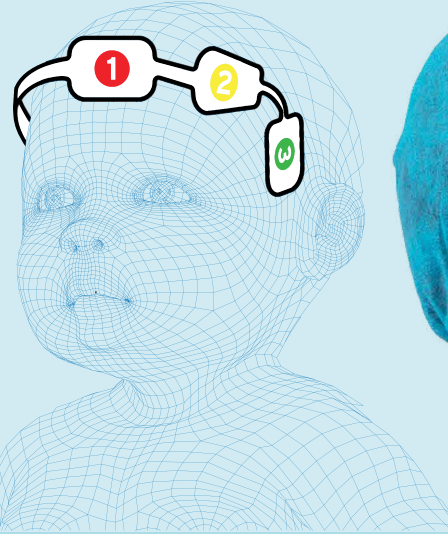
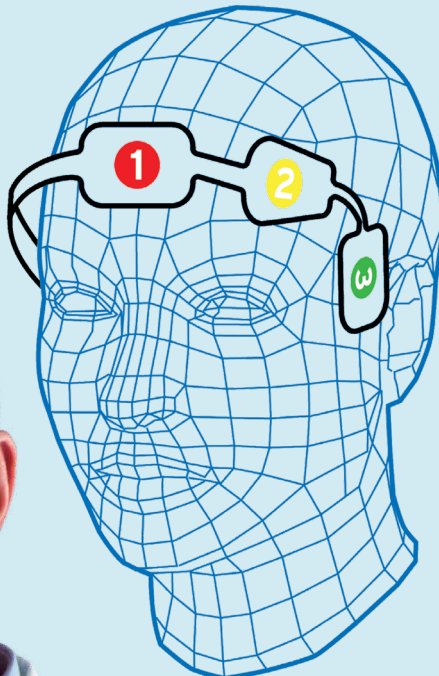
Conox® Sensor

Ambos os índices, de efeito hipnótico e probabilidade de resposta a estímulos nocivos, são obtidos utilizando um único sensor.

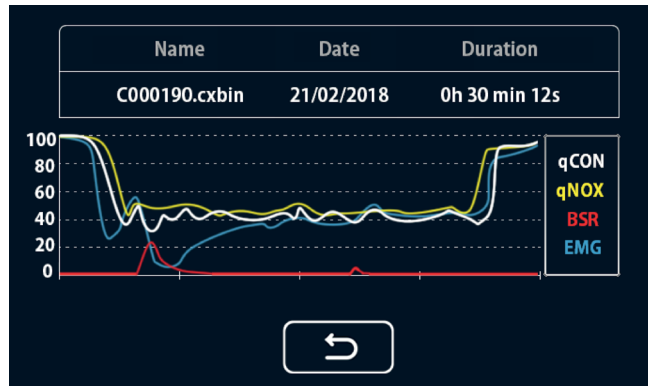
- Sensor de uso único;
- Design de gel úmido para baixa impedância;
- Completamente não invasivo;
- Tempo de uso prolongado (até 24 horas);
- Livre de látex.

Conox® Sensor Reg. ANVISA: 80145110256

Conox® Sensor Pediátrico Reg. ANVISA: 80145110276



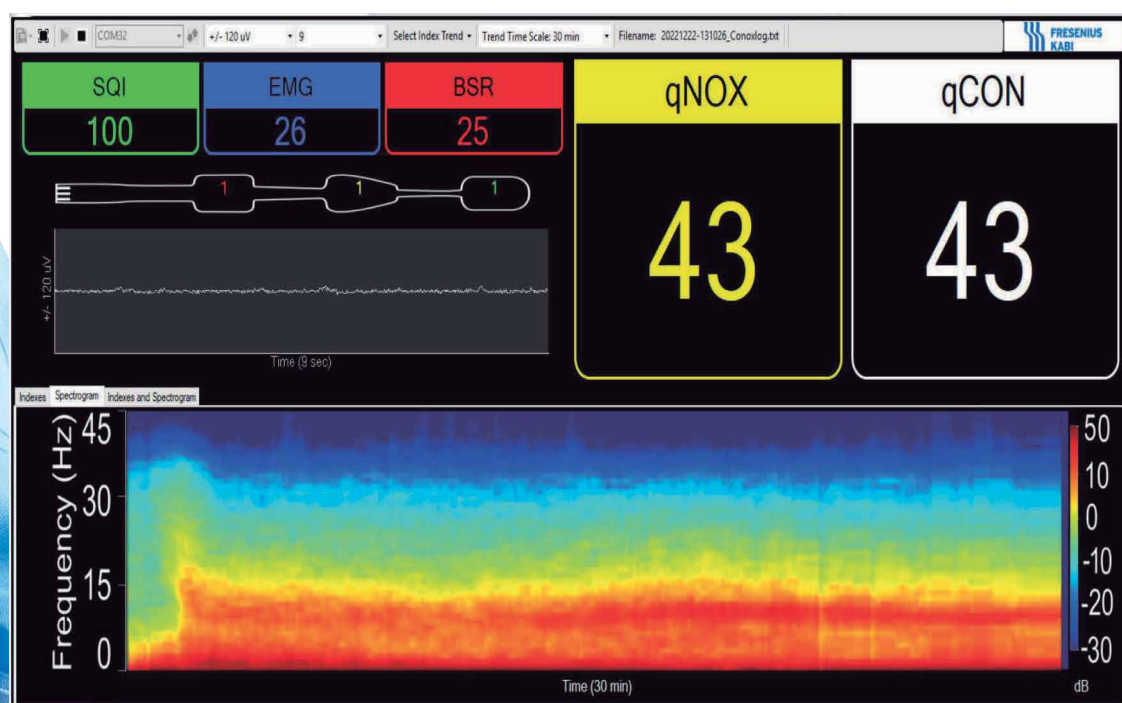
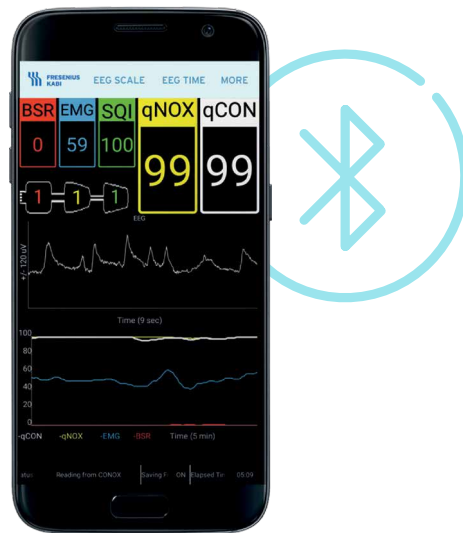
Funções de armazenamento e visualização



- Armazene o caso atual na memória do **Conox®**;
- Organize casos registrados no dispositivo;
- Visualize os índices **Conox®** obtidos em um caso salvo.

ConoxView Apps

- Conectividade via Bluetooth®;
- Visualize os índices **Conox®** e o espectrograma do caso atual em dispositivos Android ou iOS;
- Salve o caso no smartphone, tablet ou PC.



Conox® 2D

Monitoramento Inteligente da Anestesia

Duas soluções de monitoramento em um único dispositivo:

- O índice qCON avalia o estado de consciência do paciente durante os procedimentos de sedação e anestesia geral;¹
- O índice qNOX fornece a probabilidade de resposta do paciente a estímulos nocivos;^{1,4,5}
- BSR, EMG e SQI completam as informações sobre o estado do paciente;
- **Aplicável:** salas cirúrgicas, Unidades de Terapia Intensiva, instalações médicas e ambulâncias.



Usabilidade

- Índices variam de 0 a 99;
- Visualização do espectrograma na tela;
- Tela sensível ao toque com fácil acesso ao menu;
- Verificação de impedância do sensor sob demanda e verificação automática a cada 15 minutos;
- Alarme audiovisual para valores qCON;
- Possibilidade de salvar casos/procedimentos;
- Visualização dos procedimentos salvos no dispositivo.

Confiabilidade e estabilidade

- Cálculo rápido do estado do paciente durante o procedimento de anestesia intravenosa e/ou inalatória;
- Monitoramento estável e confiável, auxiliando os anestesistas na redução de riscos associados aos procedimentos anestésicos.

Portátil

- Design compacto e leve para facilidade de transporte;
- 1h30 de duração da bateria;
- Fixação fácil com um clamp de suporte de 360°;
- Conectividade via Bluetooth®;
- Compatibilidade Conox® com Android e iOS (aplicativo ConoxView).

Referências

1. E.W. Jensen, J.F. Valencia, A. López, T. Anglada, M. Agustí, Y. Ramos, R. Serra, M. Jospin, P. Pineda and P. Gambús, "Monitoring hypnotic effect and nociception with two EEG-derived indices, qCON and qNOX, during general anesthesia", *Acta Anaesthesiologica Scandinavica*, 58(8), 933-941, Sep 2014.
2. U. Melia, E. Gabarrón, M. Agustí, N. Souto, P. Pineda, J. Fontanet, M. Vallverdú, E.W. Jensen and P. Gambús, "Comparison of the qCON and qNOX indices for the assessment of unconsciousness level and noxious stimulation response during surgery". *Journal of Clinical Monitoring and Computing*, 31 (6), 1273-1281, Oct 2016.
3. Robert, Gerhard Schneider, Adrian Meyer, Eberhard Kochs, and Matthias Kreuzer, "Time delay of the qCON monitor and its performance during state transitions", *J Clin Monit Comput*, 35, 379-386, Apr 2021.
4. E.W. Jensen, P.L. Gambús, P. Pineda, J.F. Valencia, M. Jospin, M.M.R.F. Struy and H.E.M. Vereecke, "Prediction of response to tetanic stimulation: what is best, an interaction model or a direct brain measurement?", *European Journal of Anaesthesiology*, vol. 31, e-Sup. 52, p.32, Abstract Ap2-1, Jun 2014.
5. U. Melia, E. Gabarrón, M. Agustí, N. Souto, P. Pineda, J. Fontanet, M. Vallverdú, E.W. Jensen and P. Gambús, "Comparison of the qCON and qNOX indices for the assessment of unconsciousness level and noxious stimulation response during surgery", *Journal of Clinical Monitoring and Computing*, vol. 30, no. 6, pp. 1273-1281, Oct 2016.

Publicações Recentes

Christenson, Catherine, Pablo Martinez-Vazquez, Max Breidenstein, Borzoo Farhang, Jackson Mathews, Umberto Melia, Erik Weber Jensen, and Donald Mathews. "Comparison of the Conox® (QCON) and Sedline (PSI) Depth of Anesthesia Indices to Predict the Hypnotic Effect during Desflurane General Anesthesia with Ketamine." *J Clin Monit Comput* 35, 1421-1428, Dec 2021.

Fernández-Candil, J.L., Terradas, S.P., Barriuso, E.V. et al. Predicting unconsciousness after propofol administration: qCON, BIS, and ALPHA band frequency power. *J Clin Monit Comput*, 35, 723-729, Aug 2021.

Zanner, Robert, Gerhard Schneider, Adrian Meyer, Eberhard Kochs, and Matthias Kreuzer. "Time delay of the qCON monitor and its performance during state transitions." *J Clin Monit Comput*, 35, 379-386 Apr 2021.

Sahinovic, Marko M., van den Berg, Johannes P. Colin, Pieter J. Gambus, Pedro L., Jensen, Erik W., Agustí, Mercé; Ferreiro, Teresa; Struys, Michel M. R. F., "Influence of an "Electroencephalogram-Based" Monitor Choice on the Delay Between the Predicted Propofol Effect-Site Concentration and the Measured Drug Effect", *Anesthesia & Analgesia*, 131 (4), 1184-1192, Oct 2020.

Wang X, Zhang J, Feng K, Yang Y, Qi W, Martinez-Vazquez P, Zhao G, Wang T. "The effect of hypothermia during cardiopulmonary bypass on three electro-encephalographic indices assessing analgesia and hypnosis during anesthesia: consciousness index, nociception index, and bispectral index." *Perfusion*, 35(2), 154-162, Mar 2020.

Ledowski, Thomas, and Isabel Schmitz-Rode. 2020. "Predicting Acute Postoperative Pain by the Qnox Score at the End of Surgery: A Prospective Observational Study." *British Journal of Anesthesia* 124 (2), 222-26, Nov 2019.

Kulkarni, Nayana, Rajnish Nagarkar, Ravindra Tandale, Shital Patil, and Shirish Deo. 2018. "Anaesthetic Management of a Case of Dilated Cardiomyopathy for Breast Surgery with Supraglottic Airway Device." *MedPulse International Journal of Anesthesiology* 7 (3), 157-61, Jan 2019.

Müller JN, Kreuzer M, García PS, Schneider G, Hautmann H. "Monitoring depth of sedation: evaluating the agreement between the Bispectral Index, qCON and the Entropy Module's State Entropy during flexible bronchoscopy", *Minerva Anestesiologica* 83, 563-73, Jun 2017.



**FRESENIUS
KABI**

@freseniuskabibr
 Fresenius Kabi Brasil
 Fresenius Kabi Brasil

Fresenius Kabi Brasil Ltda.
CNPJ: 49.324.221/0001-04
Av. Marginal Projetada, 1652
CEP: 06460-200 • Tamboré • Barueri, SP
SAC: 0800 707 3855
www.fresenius-kabi.com.br